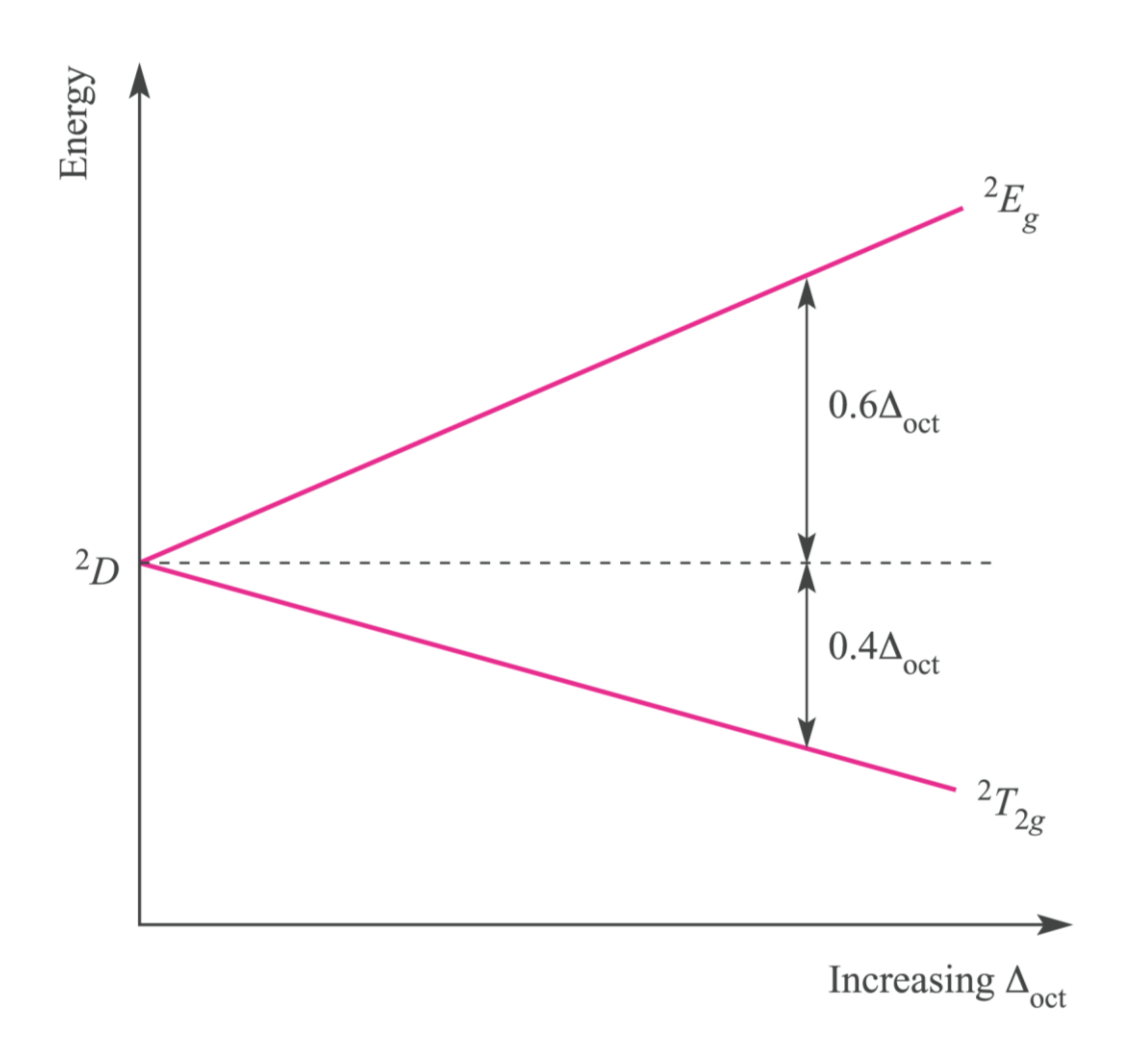
## **Table 19.7** The correlation of spectroscopic terms for d electrons in $O_h$ complexes

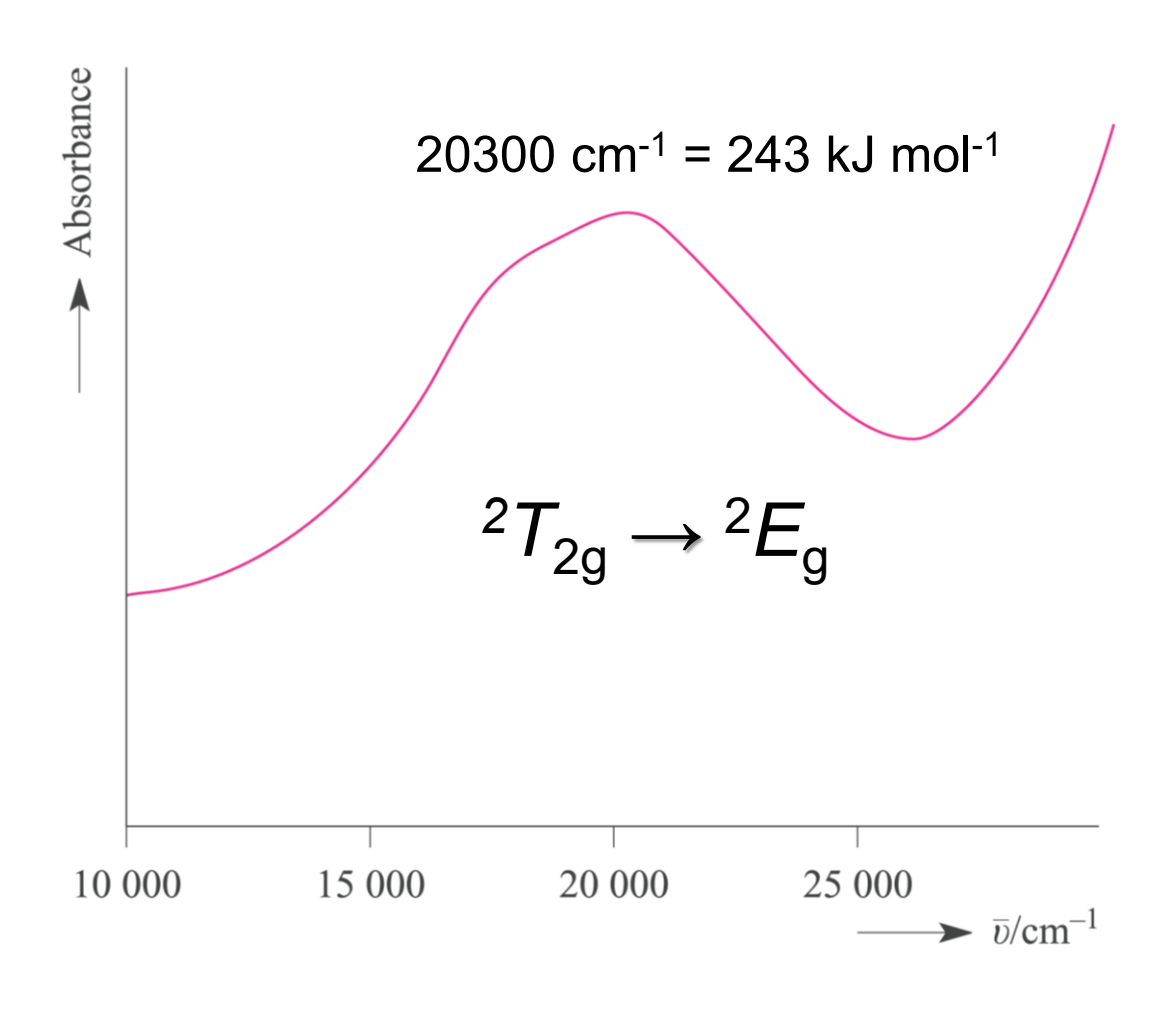
Atomic term	Number of states	Terms in O <sub>h</sub> symmetry
S	1	A <sub>1g</sub>
Р	3	T <sub>1g</sub>
D	5	$T_{2g} + E_g$
F	7	$T_{1g} + T_{2g} + A_{2g}$
G	9	$A_{1g} + E_{g} + T_{1g} + T_{2g}$

Diagramma dei livelli di energia per uno ione d<sup>1</sup> in campo ottaedrico

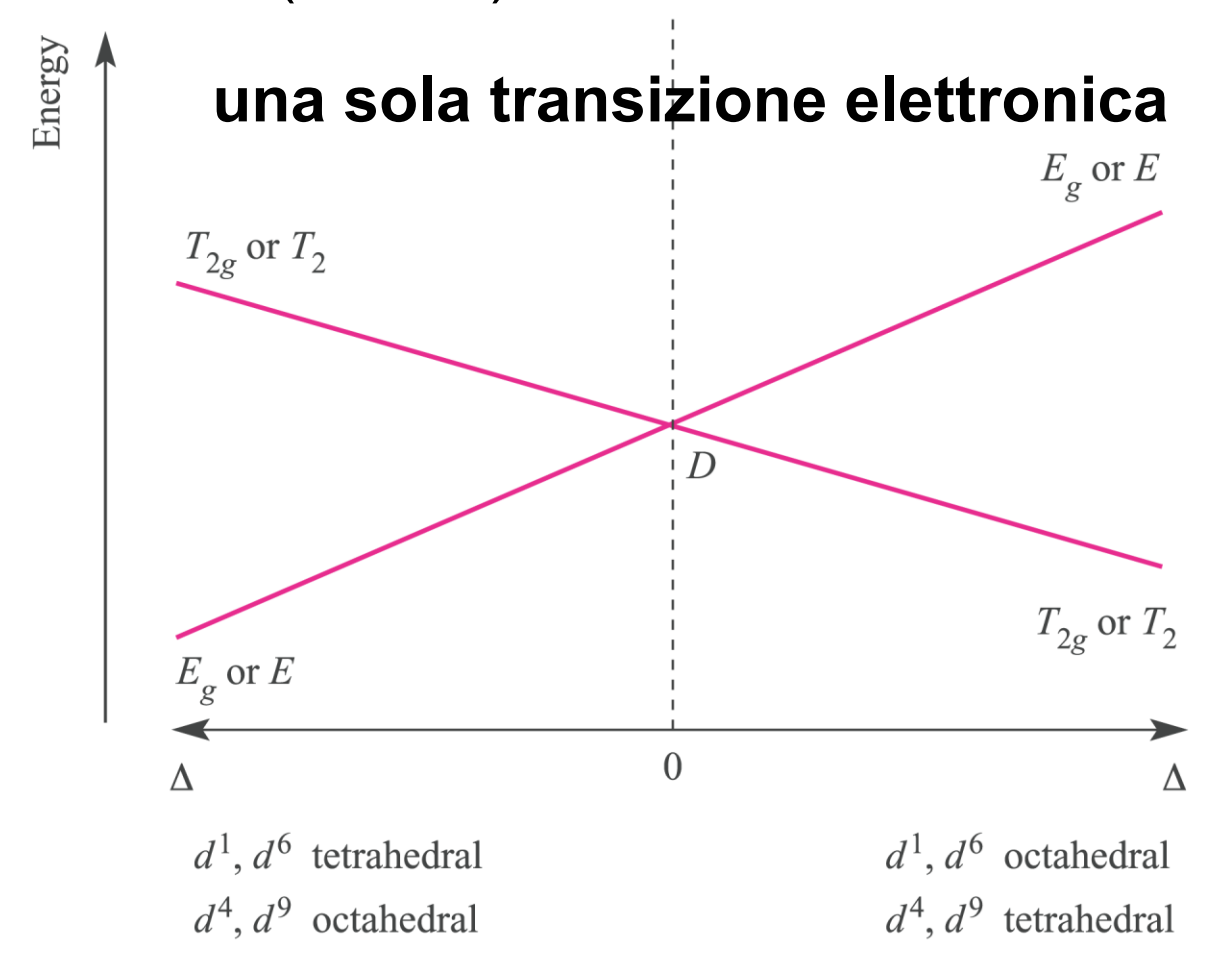


ground term 
$${}^{2}D$$
 (L = 2, S =  $\frac{1}{2}$ )

#### Spettro di assorbimento elettronico del complesso $d^1$ [Ti(OH<sub>2</sub>)<sub>6</sub>]<sup>3+</sup>



**Diagramma di correlazione di Orgel** per ioni d<sup>1</sup>, d<sup>4</sup> (h.s.), d<sup>6</sup> (h.s.) e d<sup>9</sup> in campo ottaedrico (debole) e tetraedrico



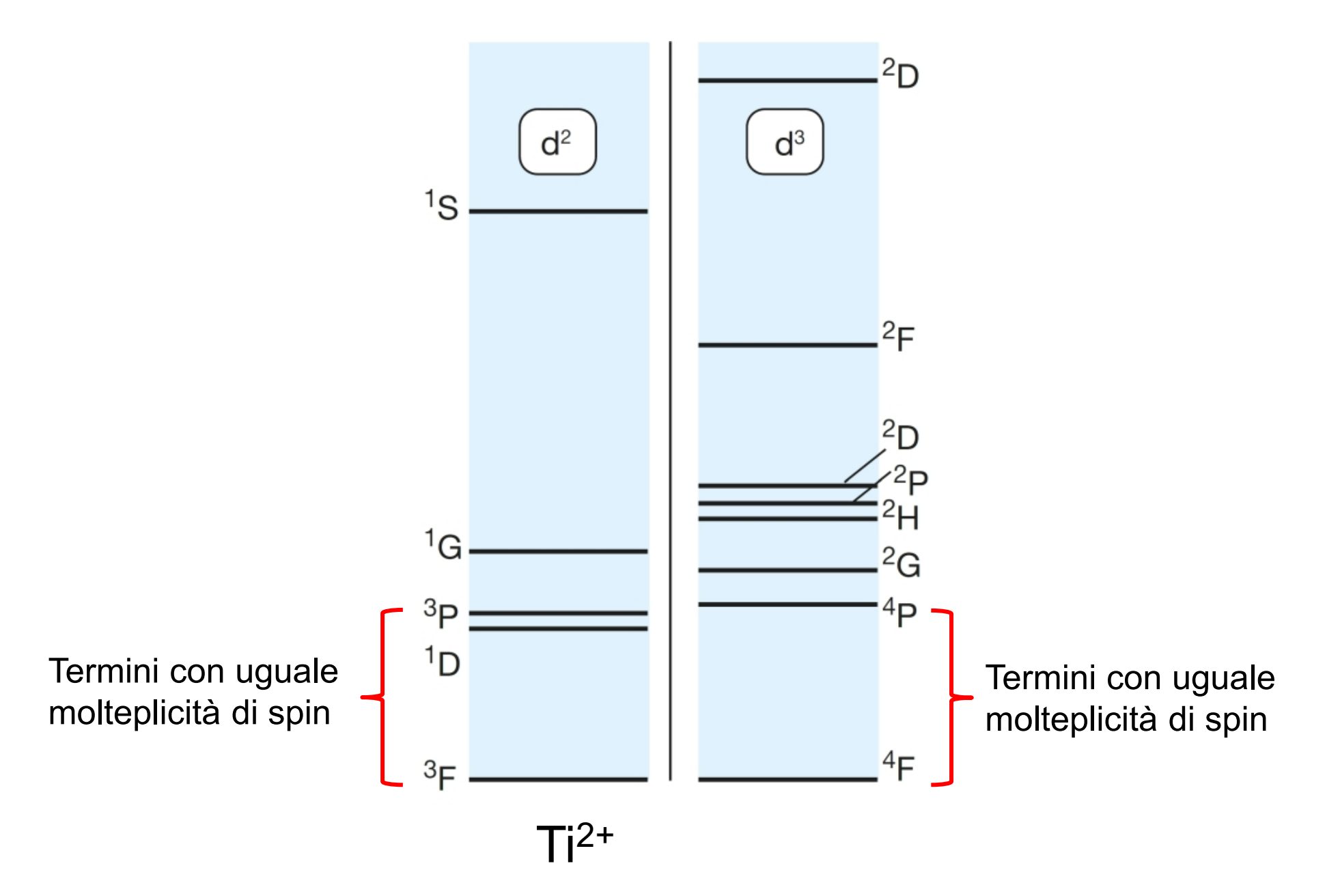
La molteplicità di spin dipende dalla configurazione elettronica

Per le configurazioni elettroniche d<sup>1</sup>, d<sup>4</sup>, d<sup>6</sup> e d<sup>9</sup>, sia in campo ottaedrico che tetraedrico, è possibile **una sola transizione elettronica**, e precisamente:

per ioni d¹ e d⁶ ottaedrici, la transizione  $T_{2g} \rightarrow E_g$  per ioni d⁴ e d⁶ ottaedrici, la transizione  $E_g \rightarrow T_{2g}$  per ioni d¹ e d⁶ tetraedrici, la transizione  $E \rightarrow T_2$  per ioni d⁴ e d⁶ tetraedrici, la transizione  $T_2 \rightarrow E$ 

L'energia della banda di assorbimento dà direttamente la misura di  $\Delta_{\rm o}$ 

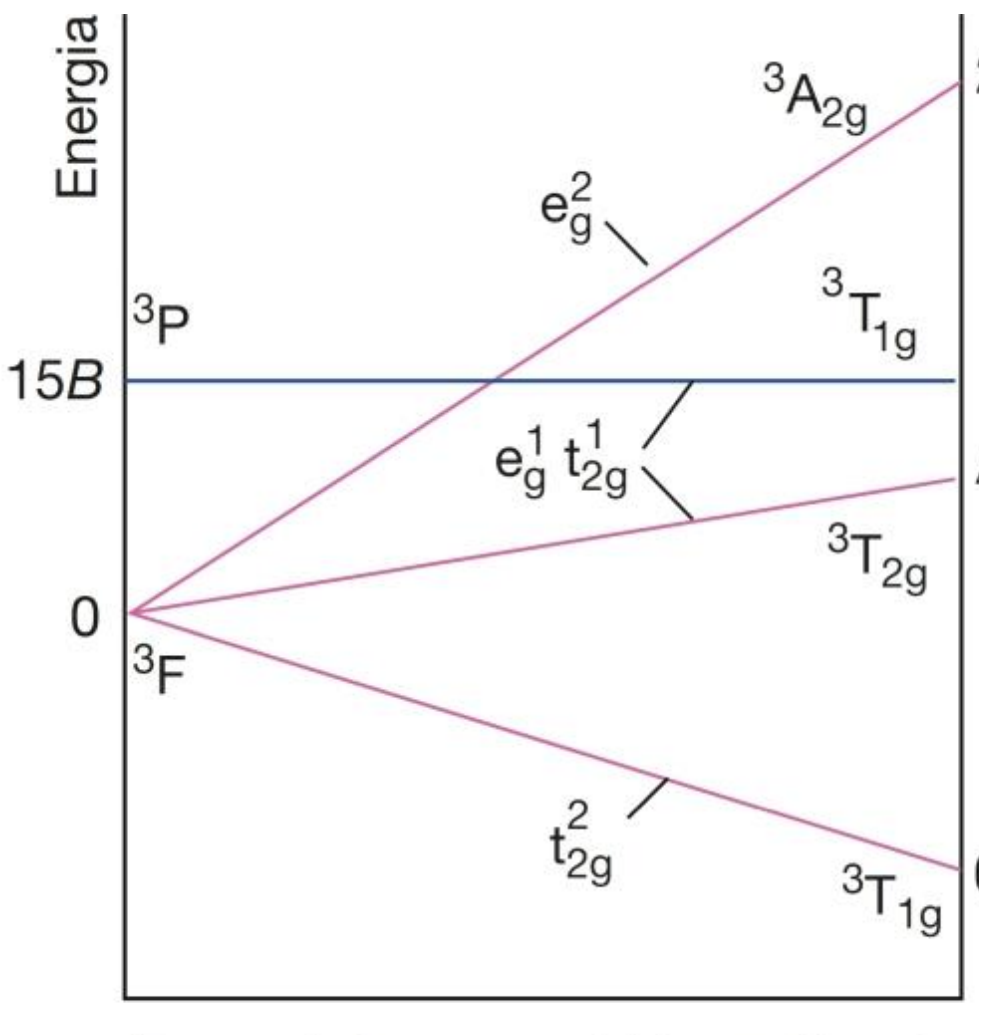
#### Ione libero o in campo sferico



## **Table 19.7** The correlation of spectroscopic terms for d electrons in $O_h$ complexes

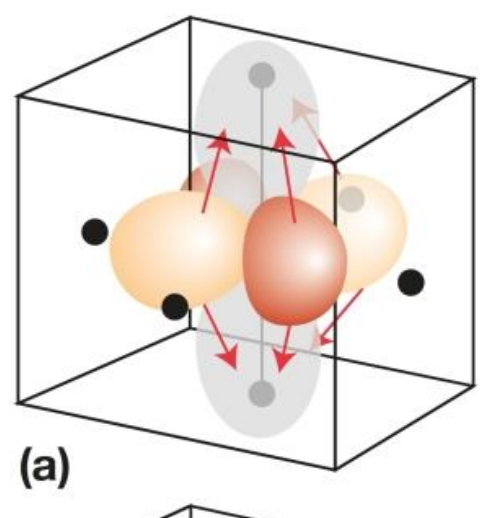
Atomic term	Number of states	Terms in O <sub>h</sub> symmetry
S	1	$A_{1g}$
Р	3	T <sub>1g</sub>
D	5	$T_{2g} + E_g$
F	7	$T_{1g} + T_{2g} + A_{2g}$
G	9	$A_{1g} + E_{g} + T_{1g} + T_{2g}$

#### Diagramma di correlazione di Orgel per ioni d<sup>2</sup> in campo ottaedrico



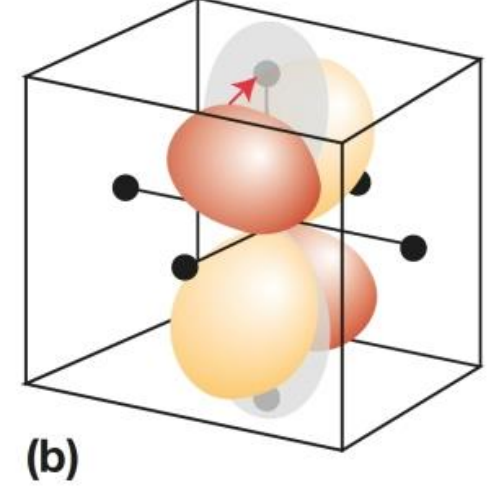
### Due distribuzioni elettroniche t<sub>2g</sub>¹e<sub>g</sub>¹ a differente energia

Energia minore <sup>3</sup>T<sub>2g</sub>



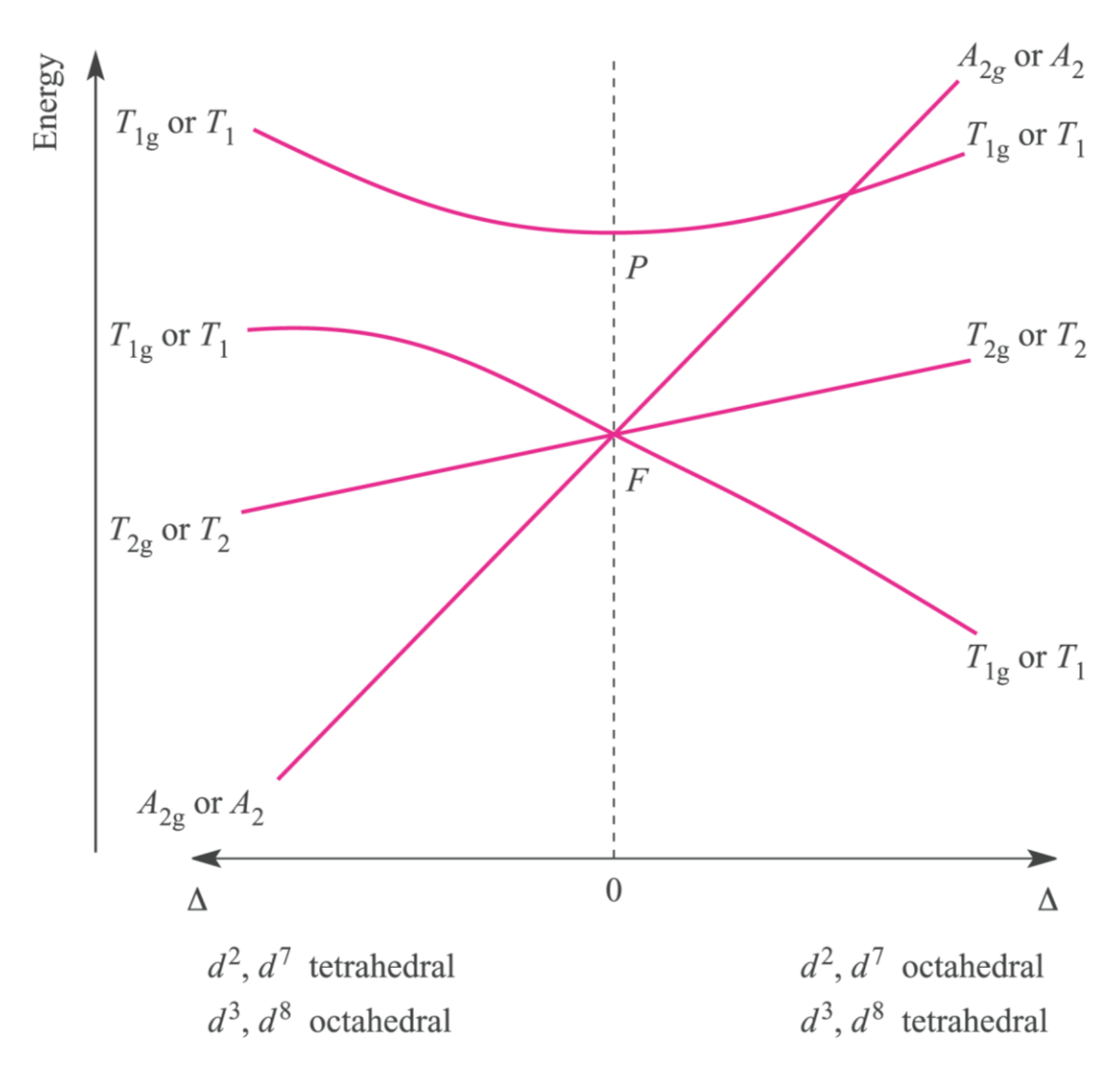
 $d_{xy}^1 d_{z2}^1$ 

Energia maggiore <sup>3</sup>T<sub>1g</sub>

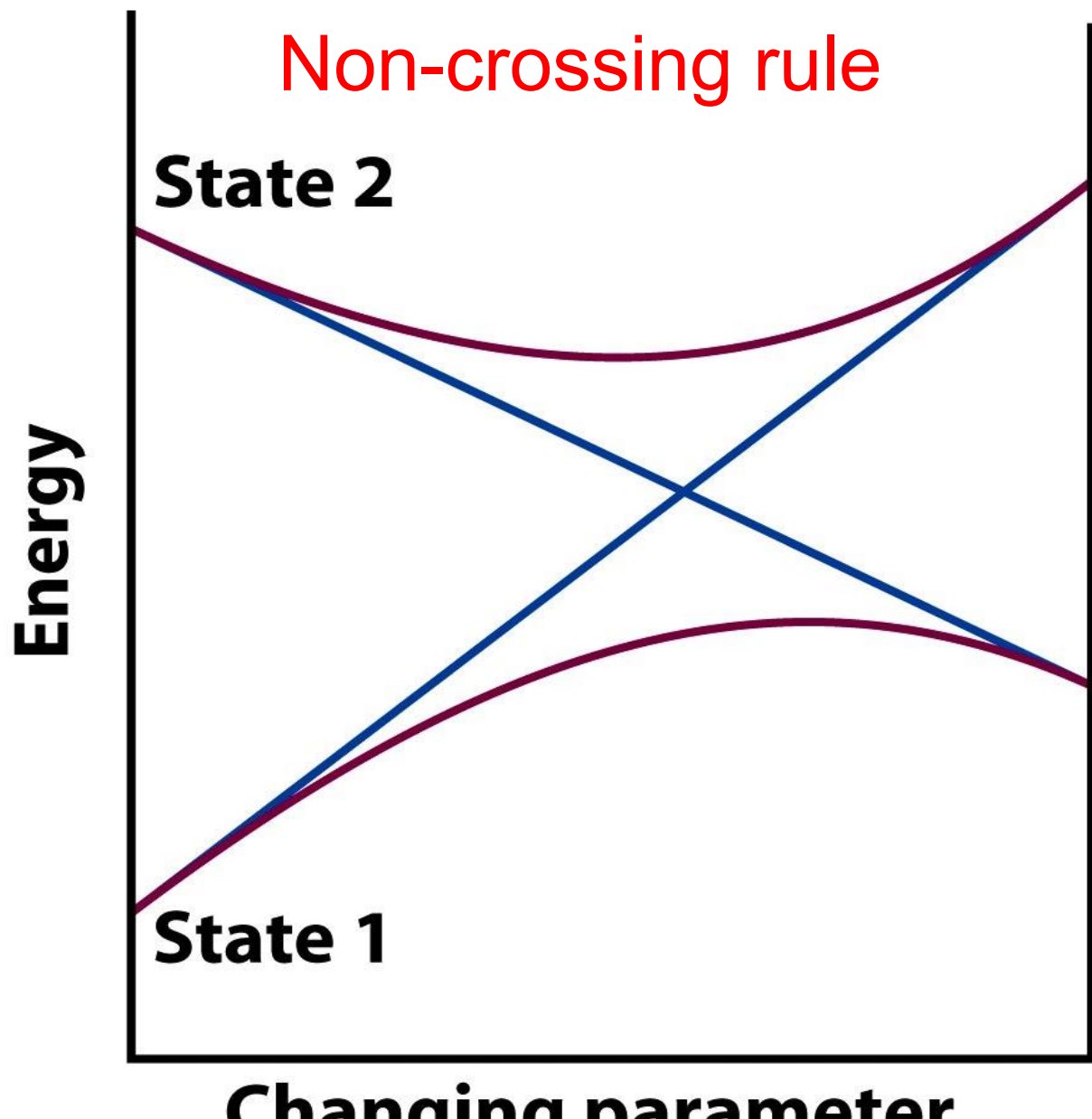


 $d_{xz}^1 d_{z2}^1$ 

Diagramma di correlazione di Orgel per ioni d<sup>2</sup>, d<sup>3</sup>, d<sup>7</sup> e d<sup>8</sup> (tutti h.s.) in campo ottaedrico e tetraedrico

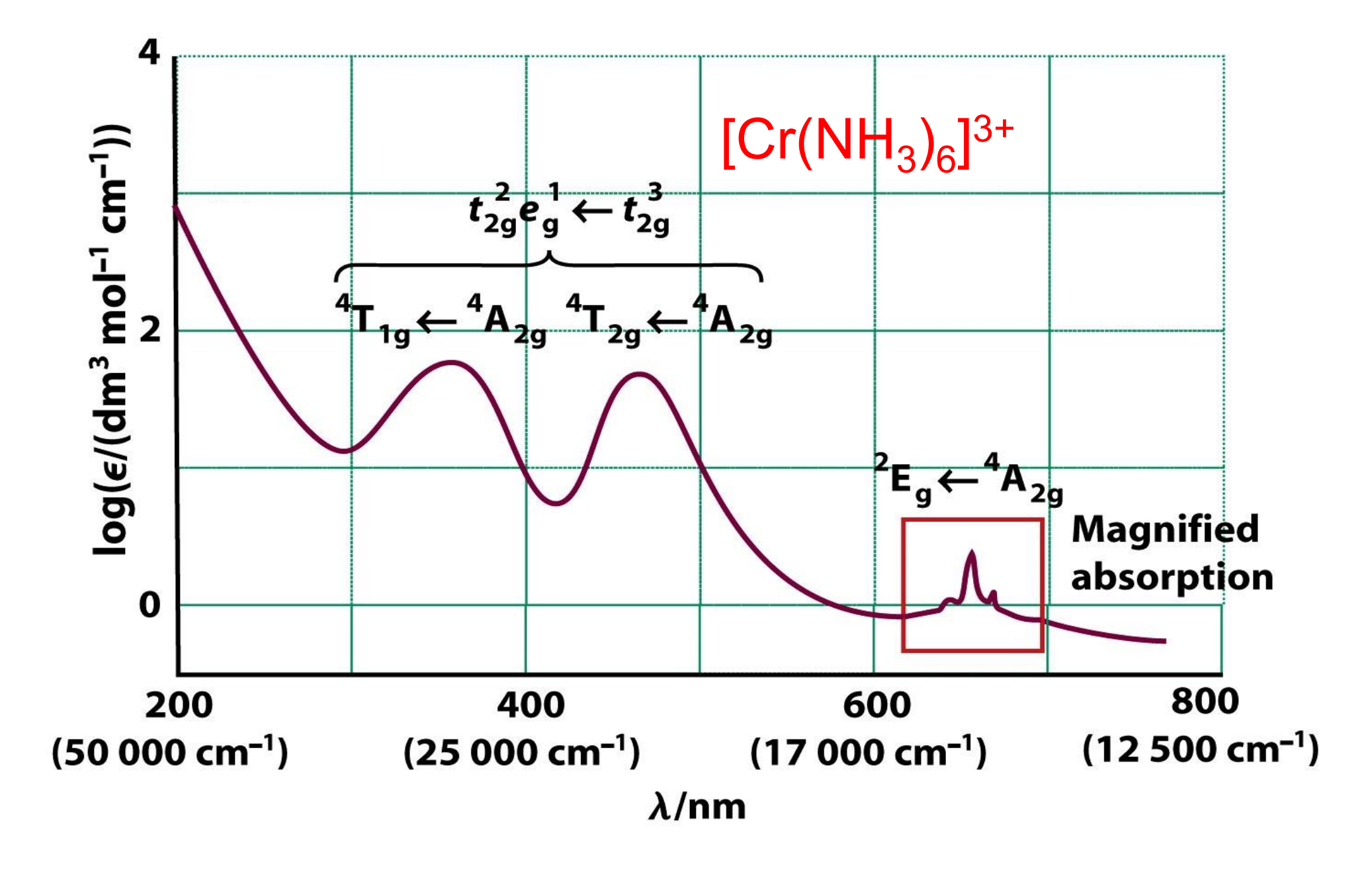


La molteplicità di spin dipende dalla configurazione elettronica

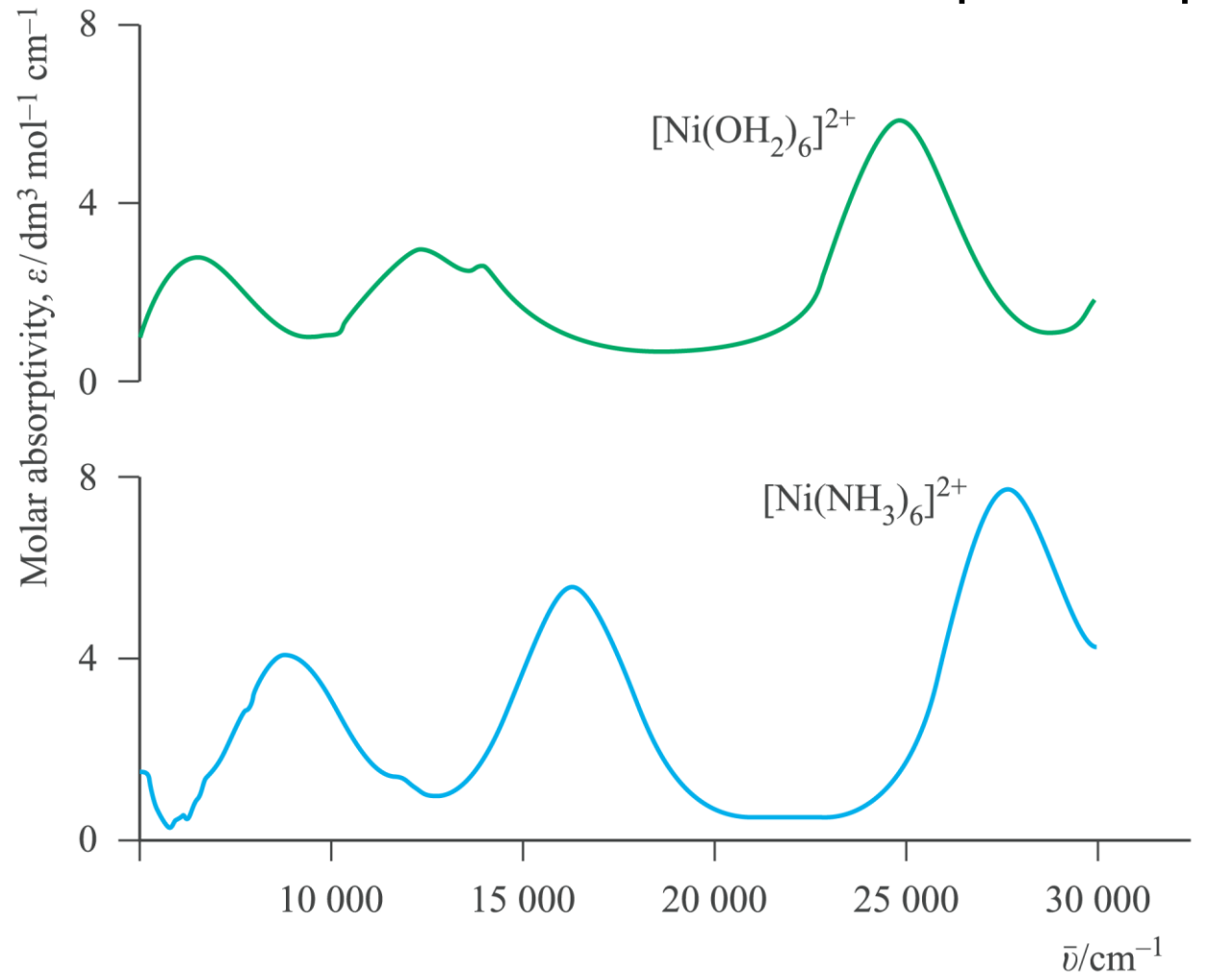


**Changing parameter** 

gli spettri elettronici di complessi ottaedrici (alto spin) o tetraedrici di ioni d<sup>2</sup>,d<sup>3</sup>, d<sup>7</sup> e d<sup>8</sup> presentano **3 transizioni d – d** spin-permesse dal *ground term* a quelli di stati eccitati. corrispondenti a 3 bande di assorbimento (una delle quali spesso cade nell'UV).

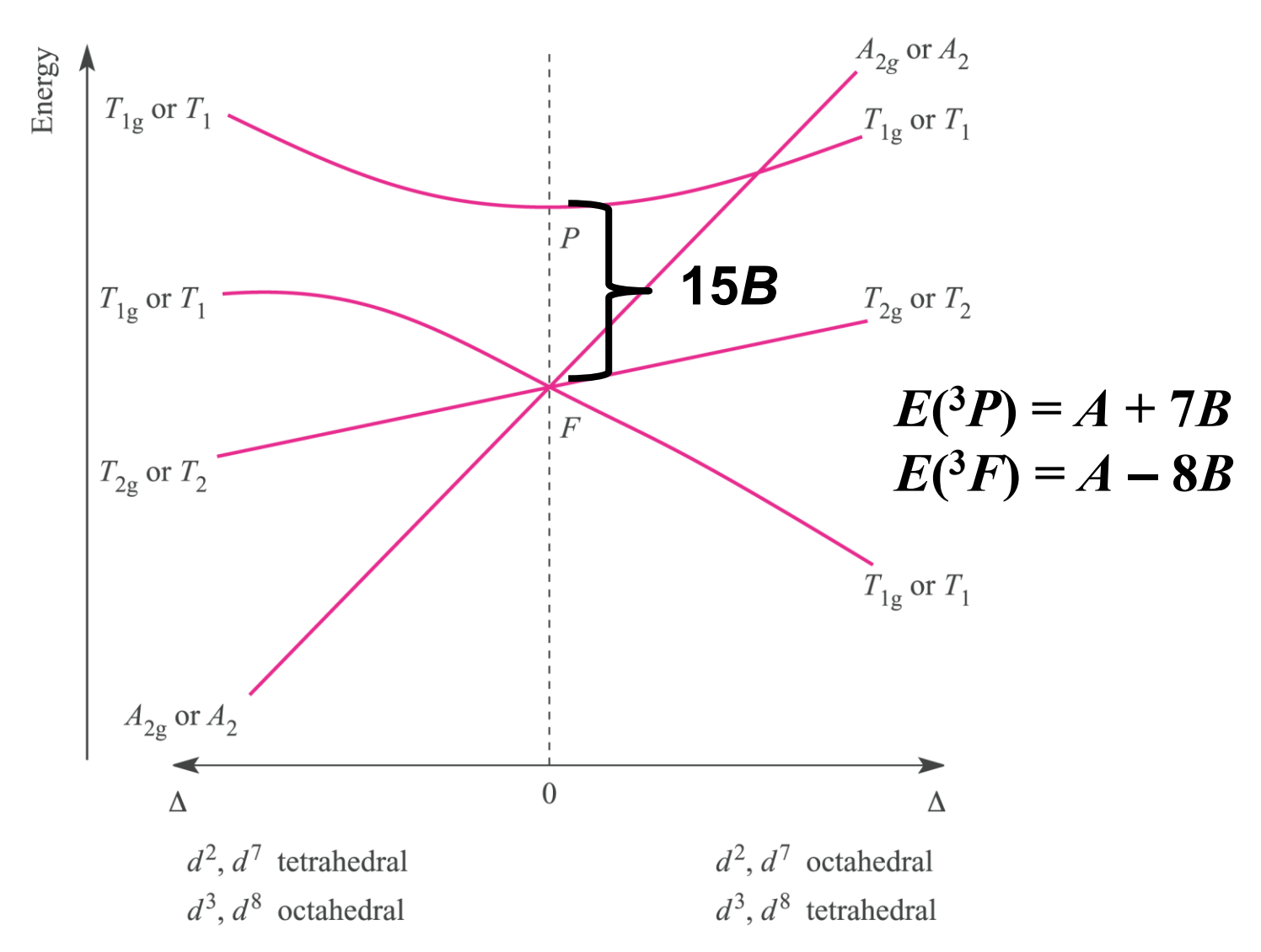


Le 3 bande di assorbimento per complessi d<sup>8</sup> h.s.



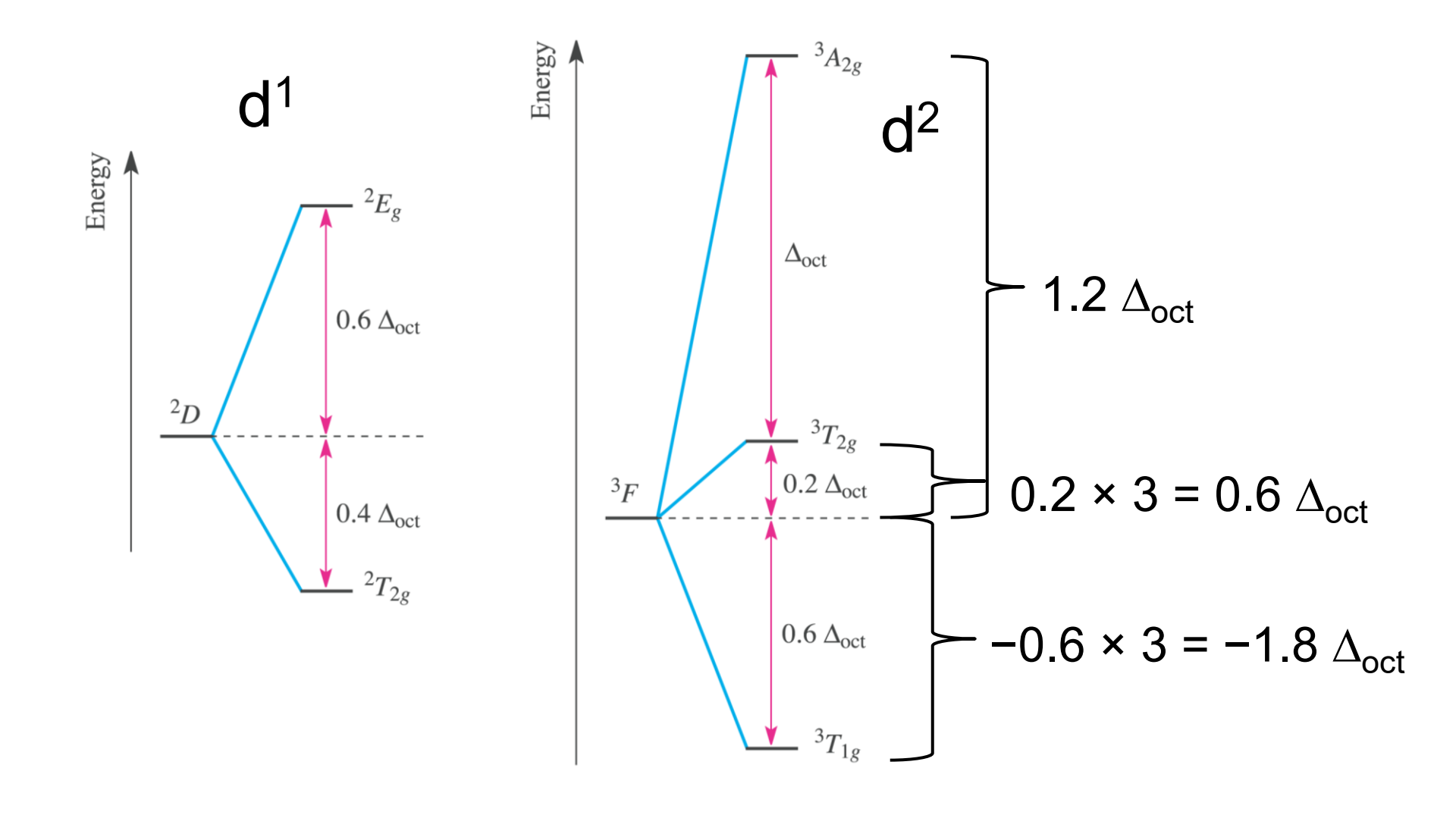
come si determina il valore di  $\Delta_{\rm o}$  dallo spettro a tre bande dei complessi ottaedrici d<sup>2</sup>,d<sup>3</sup>, d<sup>7</sup> e d<sup>8</sup>?

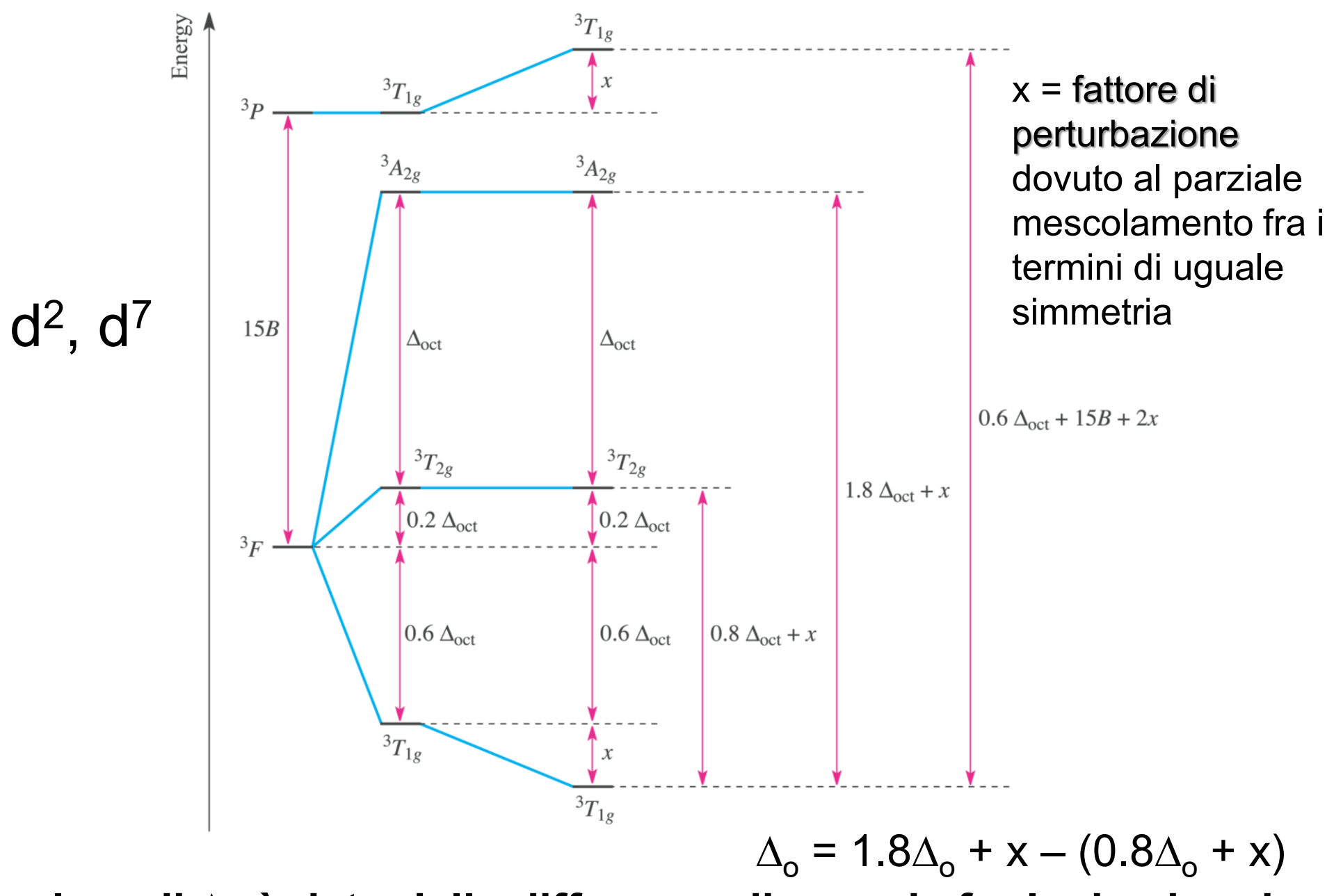
Diagramma di correlazione di Orgel per ioni d<sup>2</sup>, d<sup>3</sup>, d<sup>7</sup> e d<sup>8</sup> (tutti h.s.) in campo ottaedrico e tetraedrico



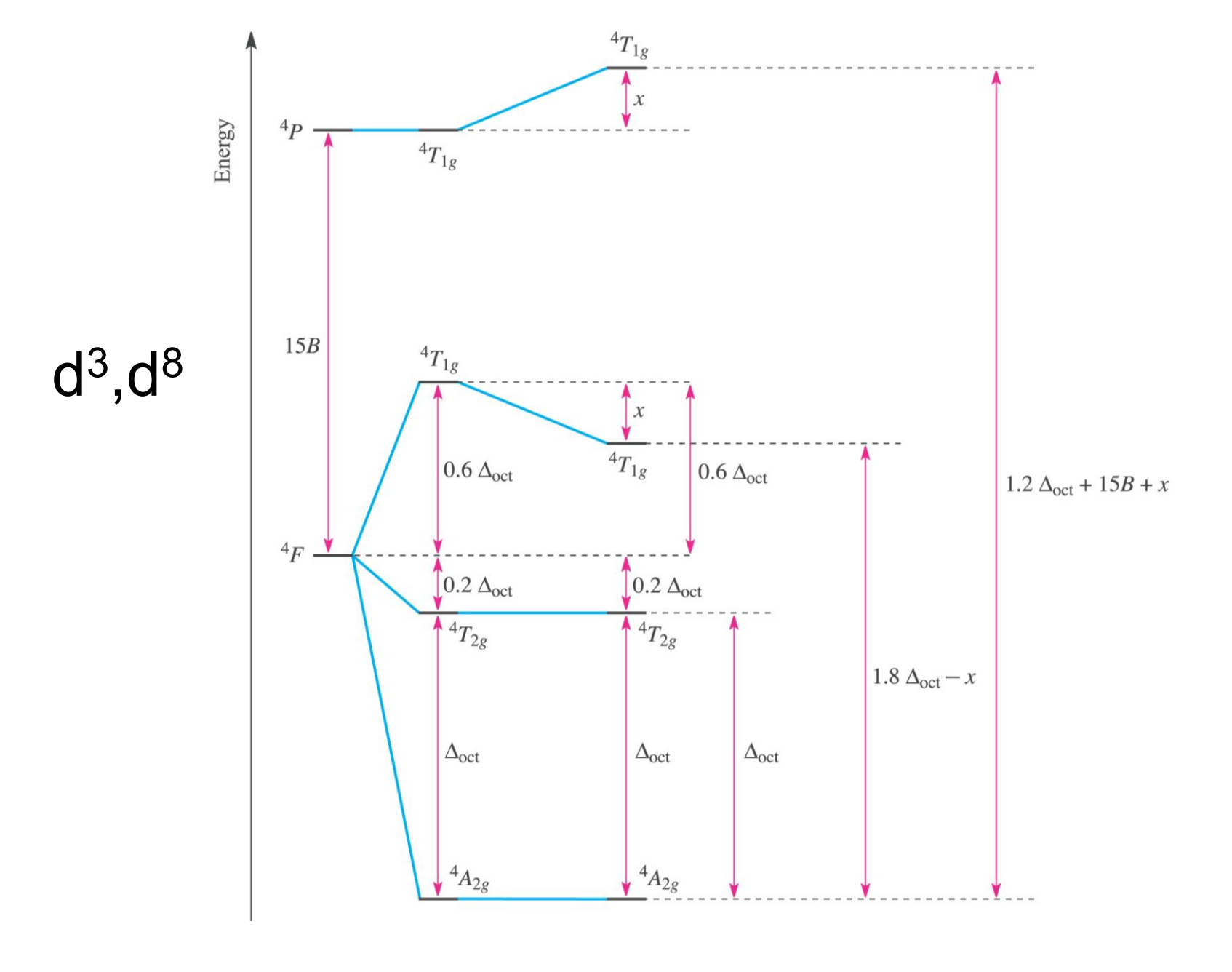
La molteplicità di spin dipende dalla configurazione elettronica

#### Dipendenza della separazione di energia fra i termini in funzione di $\Delta_{\rm O}$





Il valore di  $\Delta_{\rm o}$  è dato dalla differenza di energia fra le due bande a energia minore



Il valore di  $\Delta_o$  coincide con l'energia della banda a energia minore

Diagramma di Tanabe-Sugano per la configurazione d<sup>2</sup> in campo ottaedrico

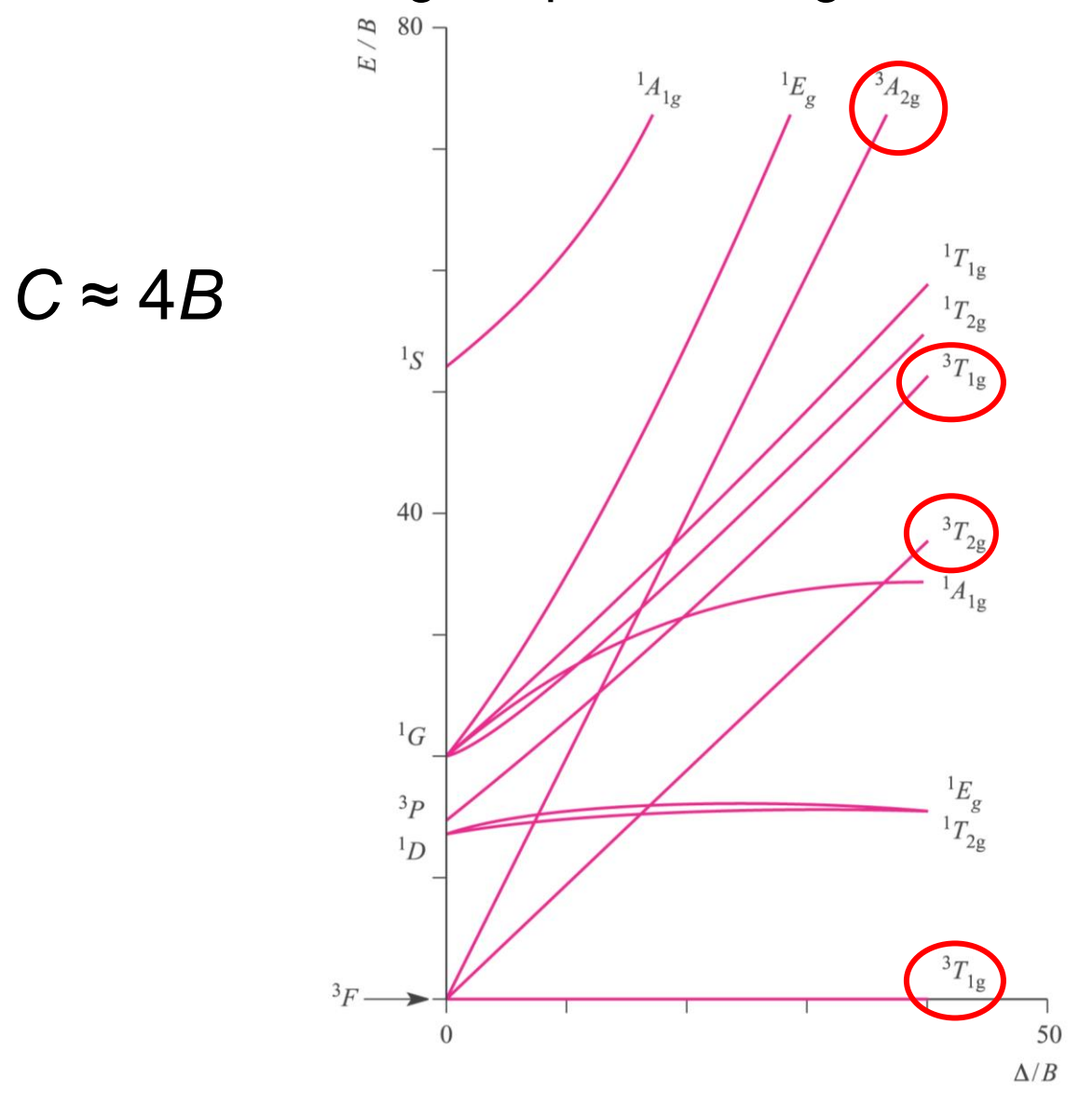
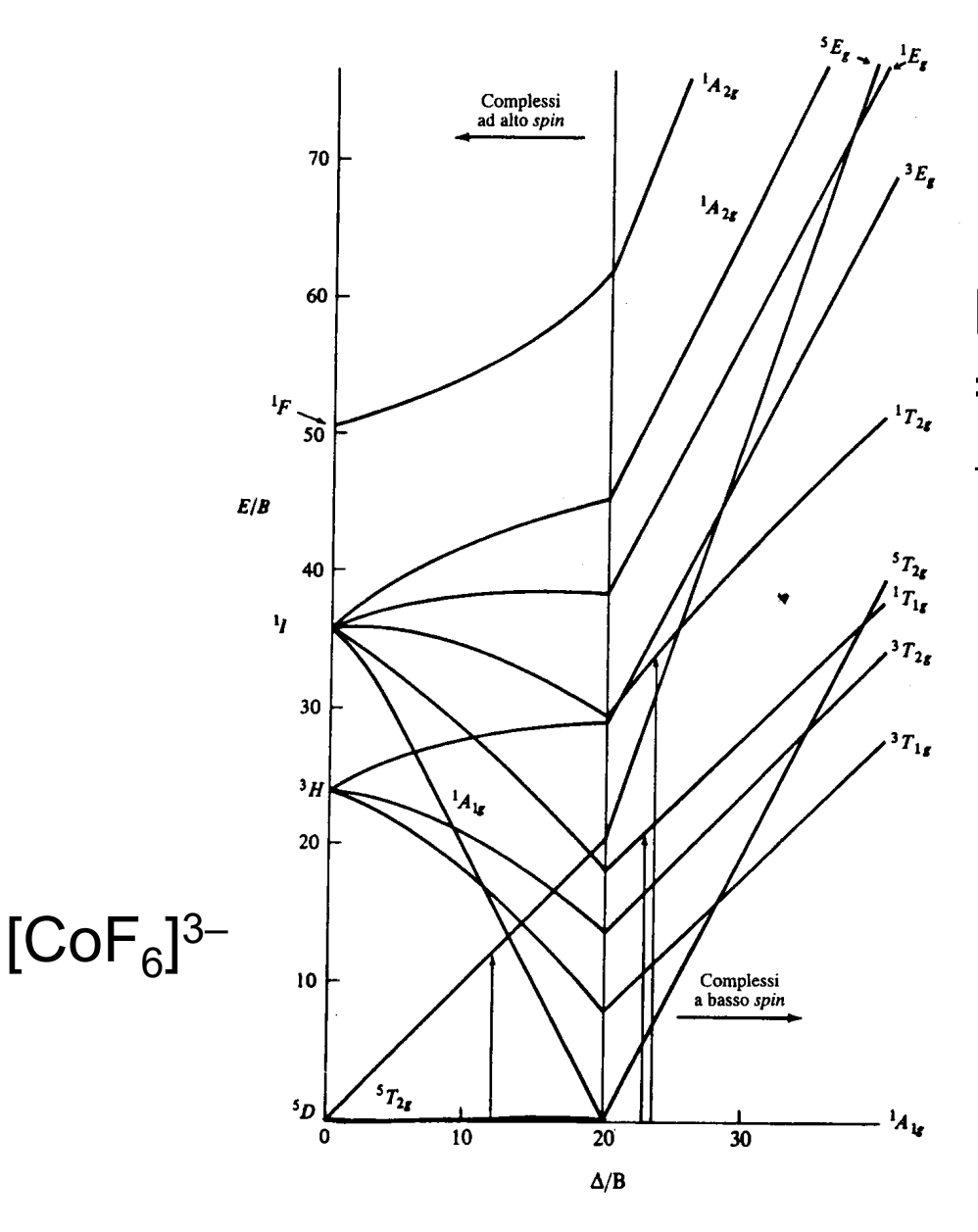
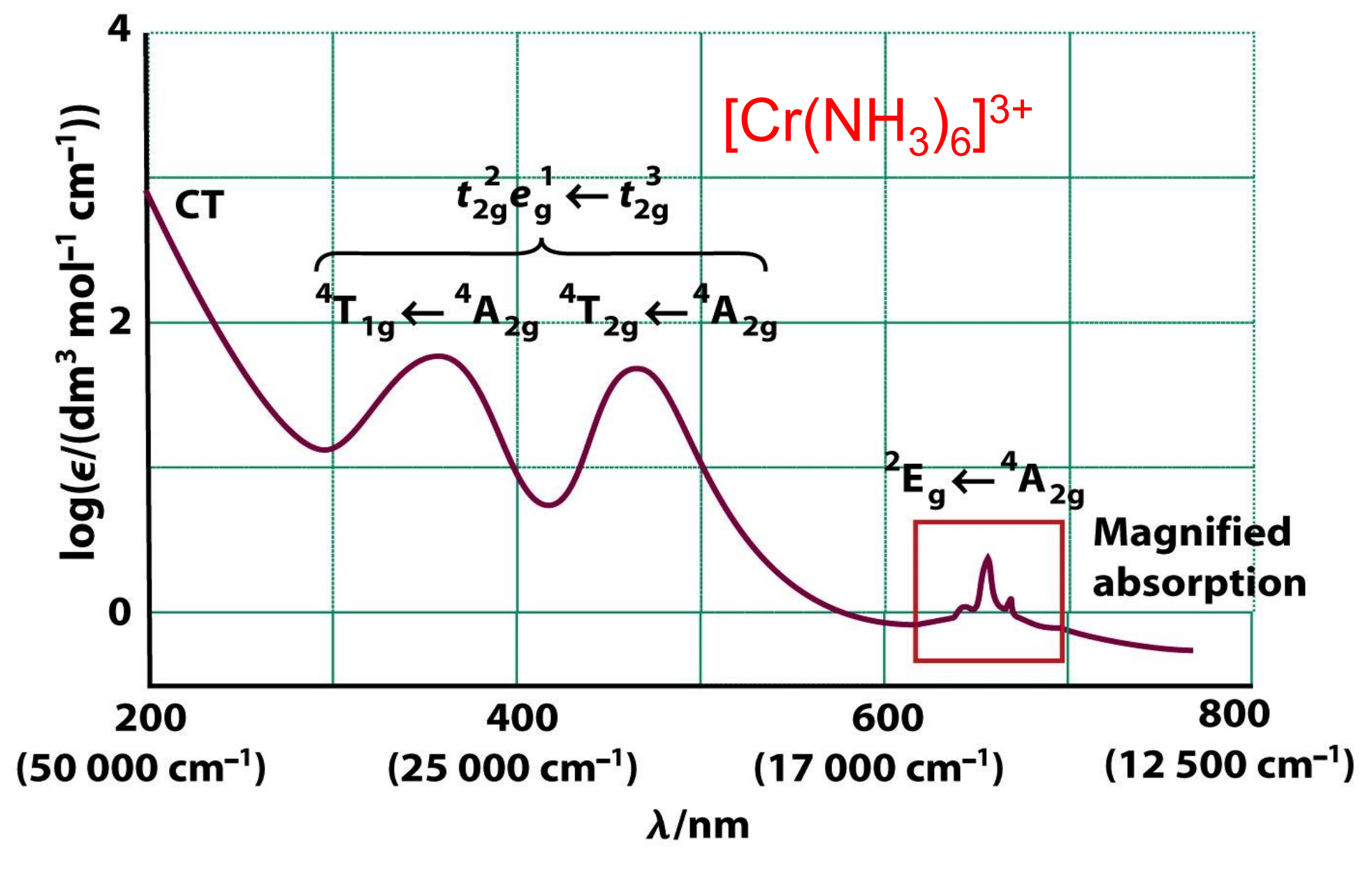


Diagramma di Tanabe-Sugano per la configurazione d<sup>6</sup> in campo ottaedrico



Discontinuità nel diagramma a  $\Delta_o$ /B = 20 dovuta al passaggio alto spin  $\rightarrow$  basso spin al crescere del  $\Delta_o$ 

 $[Co(en)_3]^{3+}$ 



21550 e 28500 cm<sup>-1</sup>

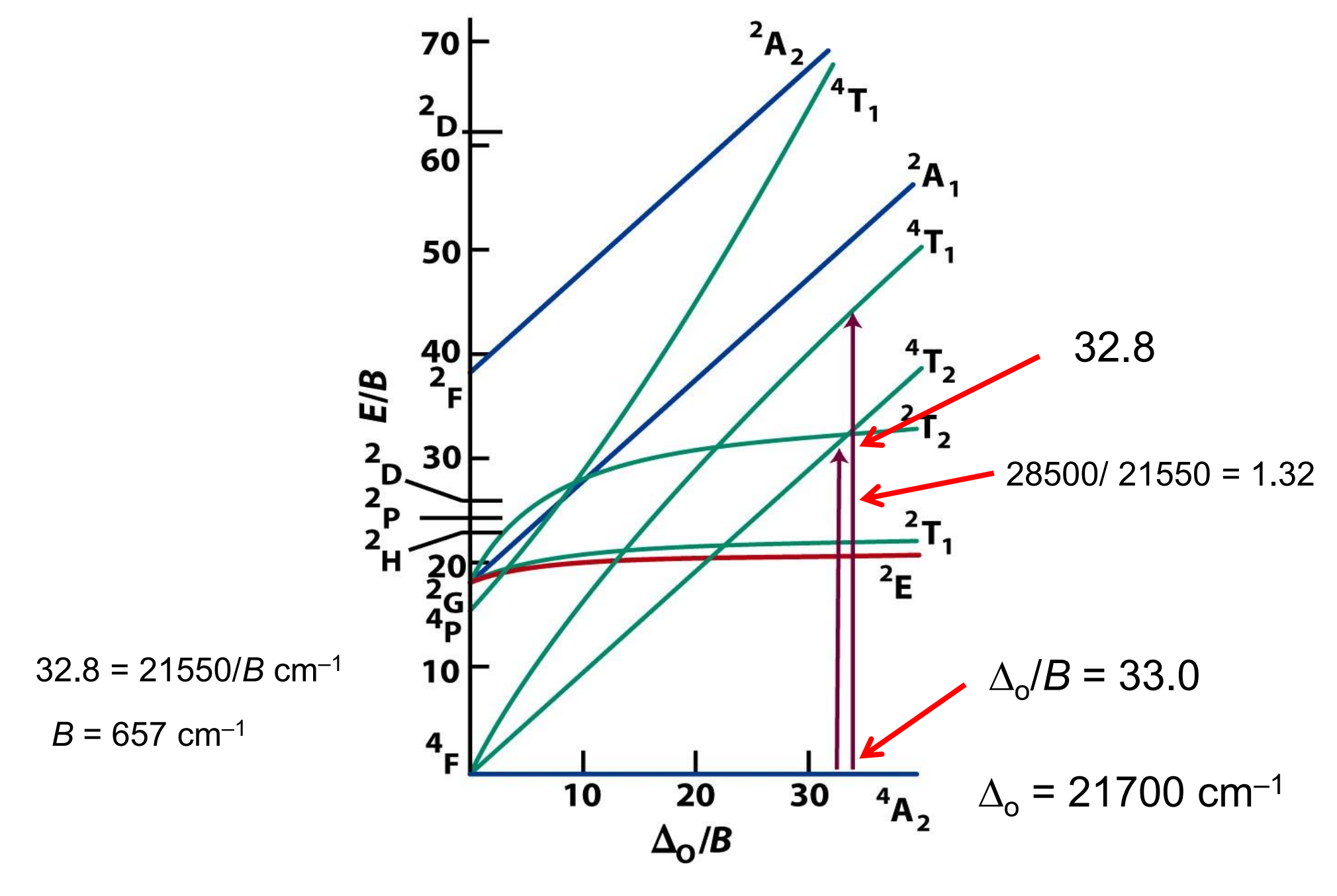


Diagramma di Tanabe-Sugano per la configurazione d<sup>3</sup> in campo ottaedrico

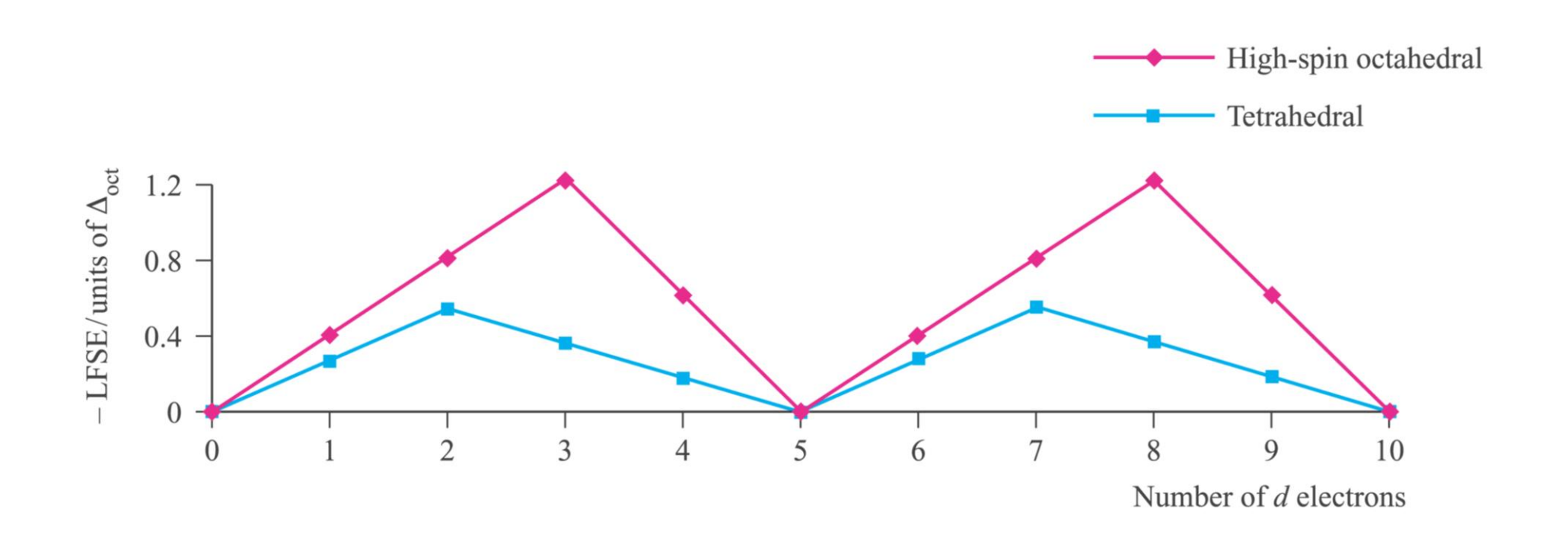
#### Effetto nefelauxetico

Metal ion	k	Ligands	h
Co(III) Rh(III) Co(II) Fe(III) Cr(III) Ni(II) Mn(II)	0.35 0.28 0.24 0.24 0.21 0.12 0.07	6 Br <sup>-</sup> 6 Cl <sup>-</sup> 6 [CN] <sup>-</sup> 3 en 6 NH <sub>3</sub> 6 H <sub>2</sub> O 6 F <sup>-</sup>	2.3 2.0 2.0 1.5 1.4 1.0 0.8

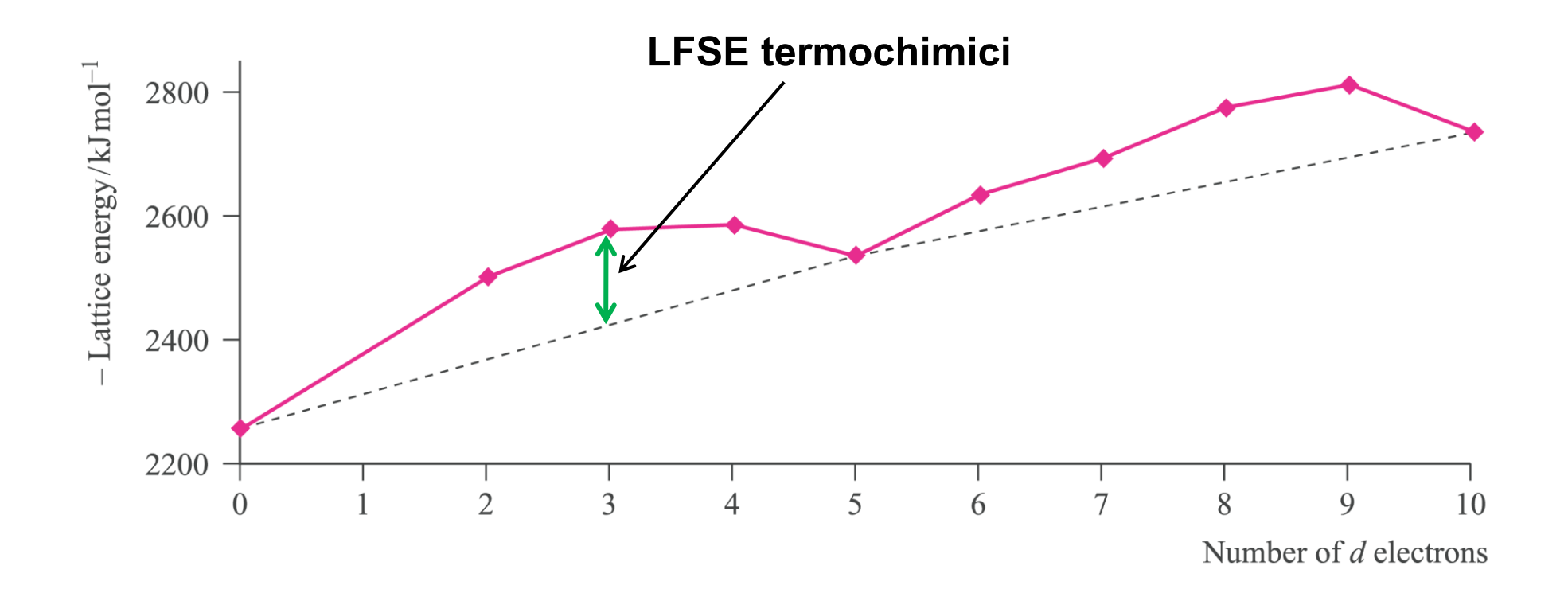
$$\frac{B^{\circ} - B}{B^{\circ}} \approx k \times h$$

$$\beta = \frac{B}{B^{\circ}}$$
 rapporto nefelauxetico (< 1)

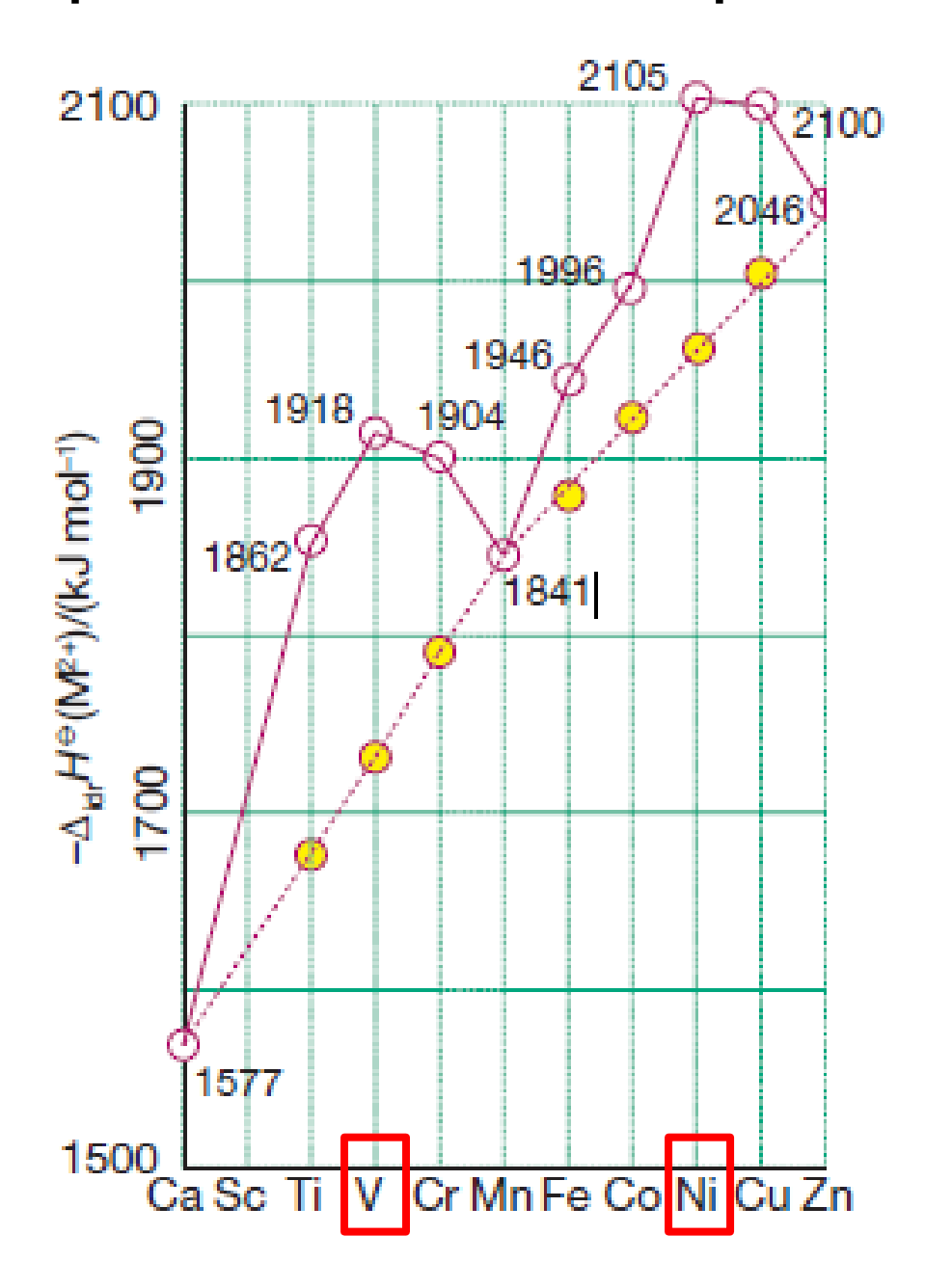
### LFSE in funzione di $\Delta_{\text{O/T}}$



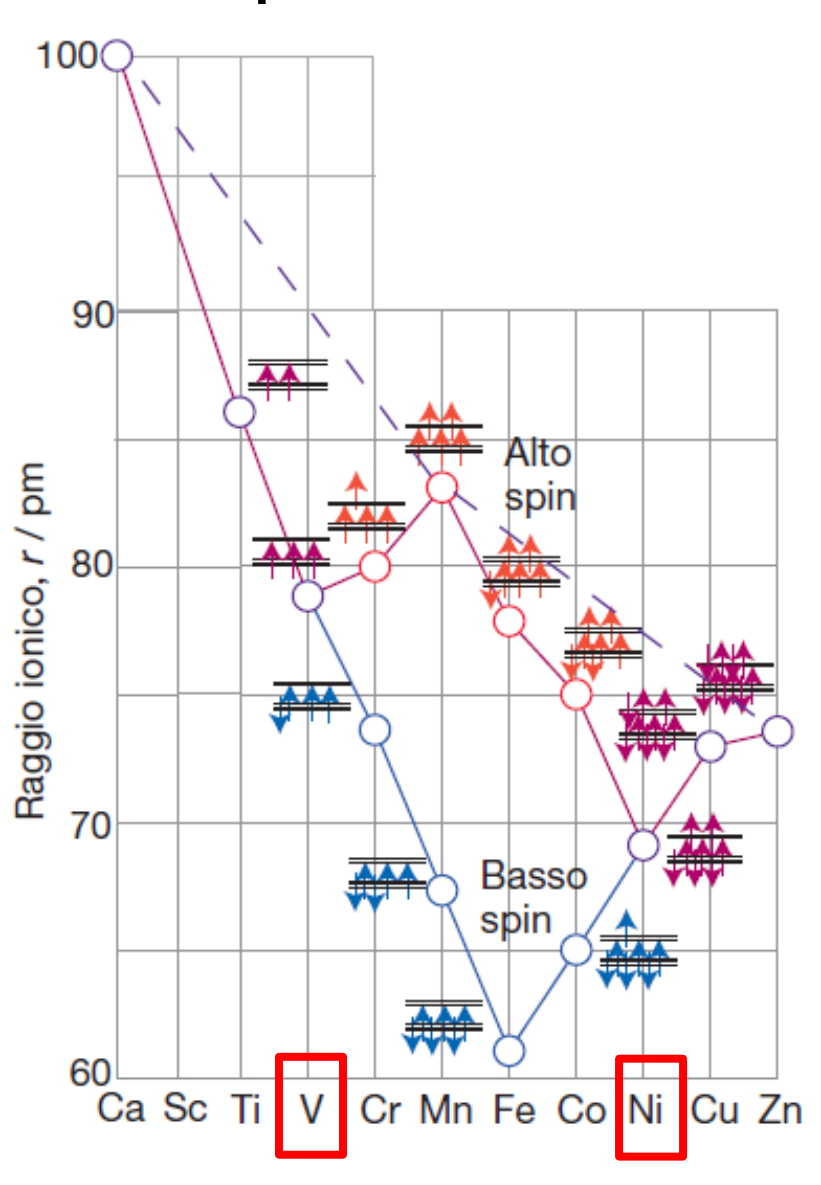
### Energie reticolari per MCl<sub>2</sub>



### Entalpie di idratazione per ioni M<sup>2+</sup>



# Andamento dei raggi degli ioni M<sup>2+</sup> dei metalli 3d in complessi ottaedrici



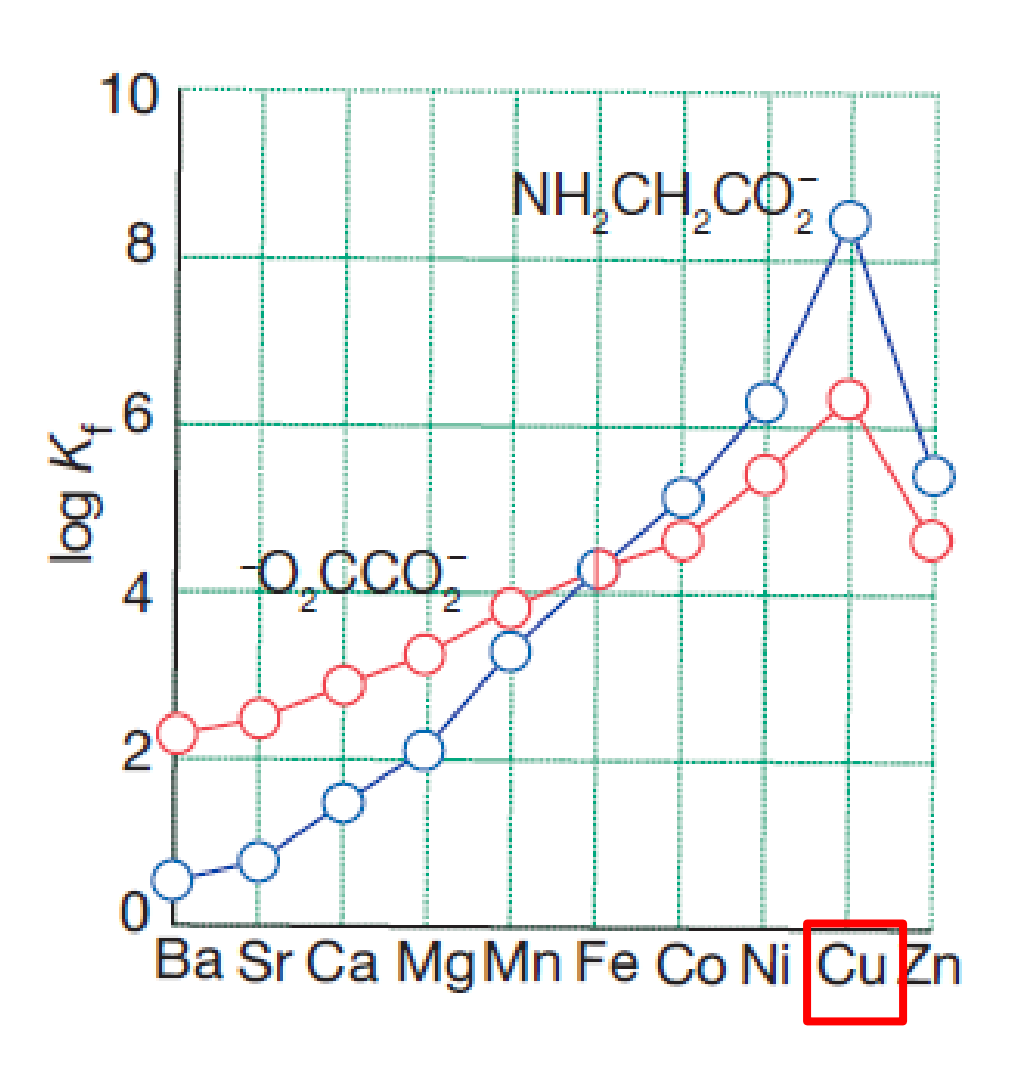
## Costanti di stabilità per complessi ottaedrici alto spin per leganti chelanti

	$d^5$	$d^6$	$d^7$	d <sup>8</sup>	$d^9$	d <sup>10</sup>
Metal ion $\log \beta_3$ for $[M(en)_3]^{2+}$ $\log \beta$ for $[M(EDTA)]^{2-}$	Mn <sup>2+</sup> 5.7 13.8	Fe <sup>2+</sup> 9.5 14.3	Co <sup>2+</sup> 13.8 16.3	Ni <sup>2+</sup> 18.6 18.6	Cu <sup>2+</sup> 18.7 18.7	Zn <sup>2+</sup> 12.1 16.1

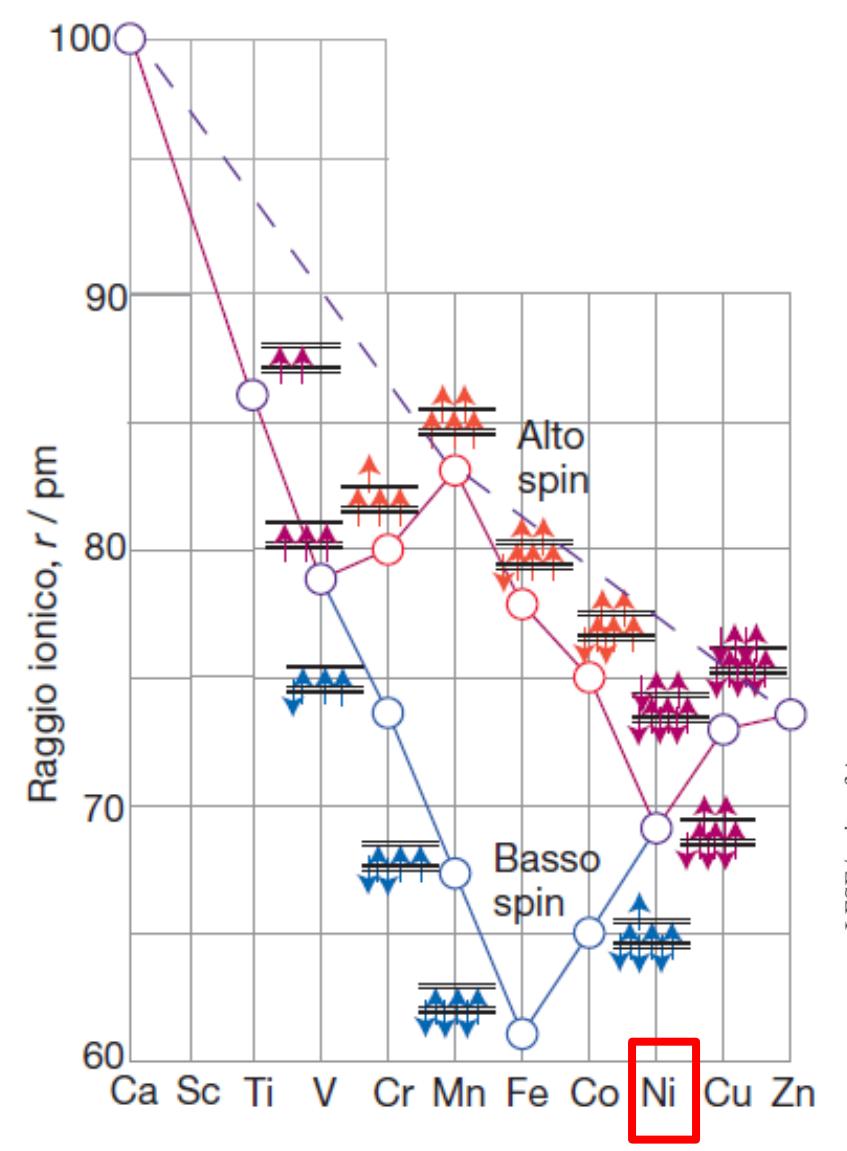
### Serie di Irving – Williams

$$Mn^{2+} < Fe^{2+} < Co^{2+} < Ni^{2+} < Cu^{2+} > Zn^{2+}$$

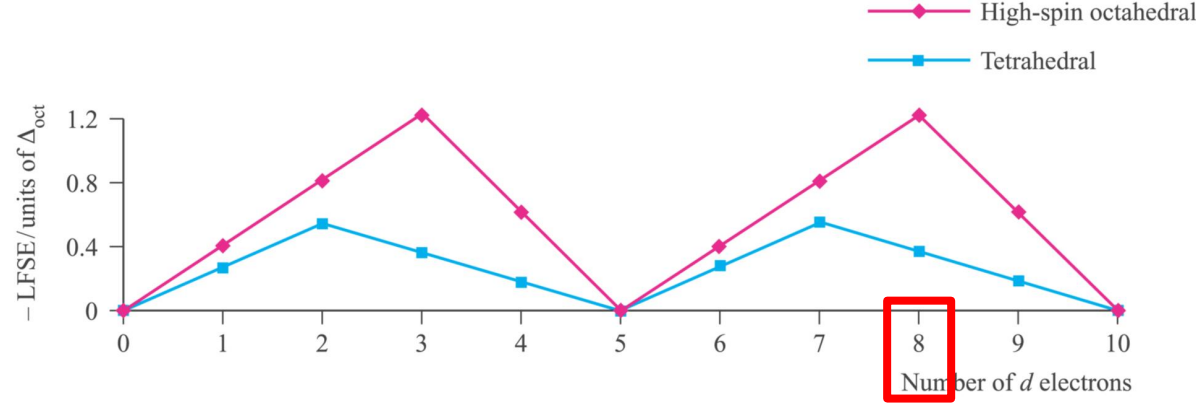
## Serie di Irving – Williams per leganti chelanti



# Andamento dei raggi degli ioni M<sup>2+</sup> dei metalli 3d in complessi ottaedrici



Sia considerazioni di LFSE che di raggio ionico suggeriscono che la maggiore costante di formazione si dovrebbe avere con Ni(II), e non con Cu(II).



## Costanti di stabilità progressive per la sostituzione di H<sub>2</sub>O con NH<sub>3</sub>: conseguenza dell'effetto Jahn-Teller

